Tafeln

Autor(en): **[s.n.]**

Objekttyp: **Appendix**

Zeitschrift: **Eclogae Geologicae Helvetiae**

Band (Jahr): **42 (1949)**

Heft 2

PDF erstellt am: **19.05.2024**

Nutzungsbedingungen

Die ETH-Bibliothek ist Anbieterin der digitalisierten Zeitschriften. Sie besitzt keine Urheberrechte an den Inhalten der Zeitschriften. Die Rechte liegen in der Regel bei den Herausgebern.
Die auf der Plattform e-periodica veröffentlichten Dokumente stehen für nicht-kommerzielle Zwecke in Lehre und Forschung sowie für die private Nutzung frei zur Verfügung. Einzelne Dateien oder Ausdrucke aus diesem Angebot können zusammen mit diesen Nutzungsbedingungen und den korrekten Herkunftsbezeichnungen weitergegeben werden.
Das Veröffentlichen von Bildern in Print- und Online-Publikationen ist nur mit vorheriger Genehmigung der Rechteinhaber erlaubt. Die systematische Speicherung von Teilen des elektronischen Angebots auf anderen Servern bedarf ebenfalls des schriftlichen Einverständnisses der Rechteinhaber.

Haftungsausschluss

Alle Angaben erfolgen ohne Gewähr für Vollständigkeit oder Richtigkeit. Es wird keine Haftung übernommen für Schäden durch die Verwendung von Informationen aus diesem Online-Angebot oder durch das Fehlen von Informationen. Dies gilt auch für Inhalte Dritter, die über dieses Angebot zugänglich sind.

Ein Dienst der *ETH-Bibliothek*
ETH Zürich, Rämistrasse 101, 8092 Zürich, Schweiz, www.library.ethz.ch

http://www.e-periodica.ch

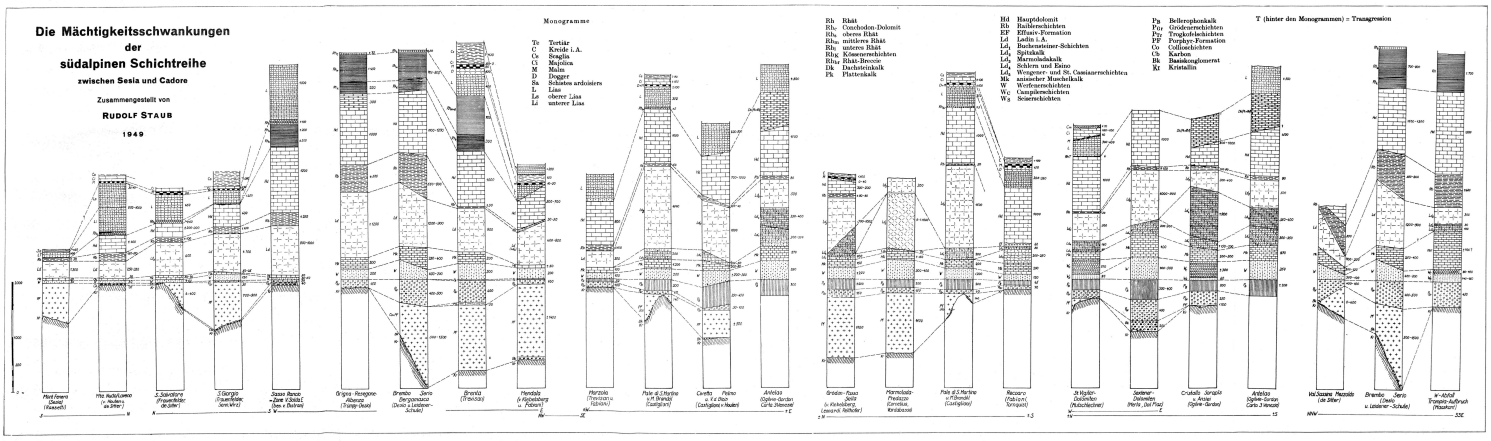
Die Mächtigkeitsschwankungen
der
südalpinen Schichtreihe
zwischen Sesia und Cadore
Zusammengestellt von
Rudolf Staub
1949
Monogramme
Te Tertiär
C Kreide i. A.
Cs Scaglia
Cl Majolica
M Malm
D Dogger
Sa Schistes ardoisiers
L Lias
Le oberer Lias
Ll unterer Lias
Rh Rhät
Rhc Conchodon-Dolomit
Rhs oberes Rhät
Rhm mittleres Rhät
Rhu unteres Rhät
Rhg Kössenerschichten
Rhbr Rhät-Breccie
Dk Dachsteinkalk
Pk Plattenkalk
Hd Hauptdolomit
Rb Raiblerschichten
EF Effusiv-Formation
Ld Ladin i. A.
Ld1 Buchensteiner-Schichten
Ld2 Spitzkalk
Ld3 Marmoladakalk
Ld4 Schlern und Esino
Ld5 Wengener- und St. Cassianerschichten
Mk anisischer Muschelkalk
W Werfenerschichten
Wc Campilerschichten
Ws Seiserschichten
Pg Bellerophonkalk
Pgr Grödenerschichten
Pgt Trogkofelschichten
PF Porphyr-Formation
Co Collioschichten
Cb Karbon
Bk Basiskonglomerat
Kr Kristallin
T (hinter den Monogrammen) = Transgression
Mont Ferrera (Sesia) (Kasselb.)
Mte Rudolfsmeno (v. Nadeln u. an Sitter)
S. Salvatore (Frauenfelder, de Sitter)
S. Giorgio (Frauenfelder, Sern. Wirz)
Sasso Rancio (Zone d. Sesia) (Nam. u. Dubois)
Origna-Pesegone-Albenza (Tiefgr.-Vaso)
Brembo Serio (Bergamasco (Dacio u. Leidener-Schule))
Brenta (Trevisan)
Mendola (v. Rotenberg u. Fabian)
Marzola (Trevisan, Fabian)
Malè di S. Martino u. M. Brenta (Castiglioni)
Cavetta Pelmo u. v. d. Dolo (Castiglioni u. Nadeln)
Antelao (Ogilvie-Gordon, Carlo Stevenet)
Gröden-Fassa Jelli (v. Kirkelberg (Lemann), Rothofer)
Marmolada-Predazzo (Cornelius, Kerdelsassel)
Malè di S. Martino u. M. Brenta (Castiglioni)
Recoaro (Fabiani, Nonquist)
St. Vigilio-Dolomiten (Rubischlechner)
Seiserer-Dolomiten (Merla, Del Prat)
Crusalla Sorgalla u. Aviso (Ogilvie-Gordon)
Antelao (Ogilvie-Gordon, Carlo Stevenet)
Val Sassana Mezzolo (de Sitter)
Brembo Serio (Dacio u. Leidener-Schule)
W-Abfall Trompia-Aufbruch (Rosselet)

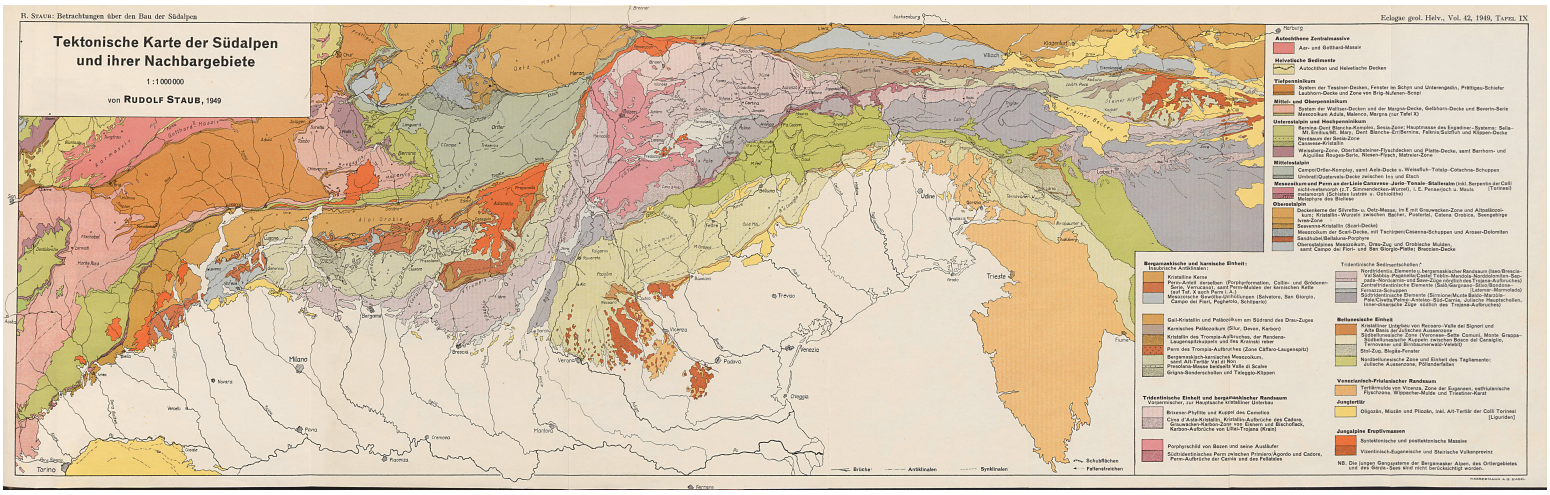
Tektonische Karte der Südalpen
und ihrer Nachbargebiete
1 : 1 000 000
von Rudolf Staub, 1949
Autochthone Zentralmassive
Aar- und Gotthard-Massiv
Helvetische Sedimente
Autochthon und Helvetische Decken
Tiefpenninikum
System der Tessiner-Decken; Fenster im Schon und Unterengadin, Prättigau-Schiefer
Lucomon-Decke und Zone von Brig-Nufenen-Scopi
Mittel- und Oberpenninikum
System der Walliser-Decken und der Margna-Decke, Gotthard-Decke und Bewerin-Serie
Mesozoikum Adula, Malenco, Margna (zur Tafel X)
Unterostalpin und Mittelpenninikum
Bernina-Dent Blanche-Kompleks; Sesia-Zone; Hauptmasse des Engadiner-Systems; Sella-
Mt. Emilius-Mt. Mary, Dent Blanche-Gr/Bernina, Tahlera-Scuffoh und Klippen-Decke
Nordsaum der Sesia-Zone
Mesozoikum Sesia
Wendenzone, Oberhalbstein-Flysch-Decken und Platte-Decke, sent Berhorn- und
Aiguilles Rouges-Serie, Nieder-Pfirsch, Matrei-Zone
Mittelostalpin
Campo/Orlec-Komplex, sent Aela-Decke u. Weissfluh-Totalp-Calcschon-Schuppen
Umbrail/Quatervals-Decke zwischen Inn und Etsch
Mesozoikum und Perm an der Linie Canavese-Jorio-Tonale-Giallenghi (inkl. Serpentin der Colli
südwestlich (u. T. Simmendecken-Wurzel), i. E. Periadriatic u. Mauls (Tonlinie)
metamorph (Schiefer tonlinie u. Ophiolithe)
Serpentin des Bellinzer
Oberostalpin
Decken-Kerne der Silvretta- u. Oetz-Masse, im E mit Gnaweckien-Zone und Altpaläozoi-
kum-Kristallis-Wurzeln zwischen Bacher, Pustertal, Cabina Orobica, Seengebirge
Inner-Zone
Sesvenna-Kristallis (Scarl-Decke)
Mesozoikum der Scarl-Decke, mit Tschirpen/Cimonna-Schuppen und Arosen-Dolomiten
Sanitsuhel/Bellalunx-Porphyre
Oberostalpines Mesozoikum, Drau-Zug und Orobische Mulden,
sent Campo dei Fiori- und San Giorgio-Pieile; Brescian-Decke
Bergamaskische und karnische Einheit:
Kristallin
Kristallin Karn
Permo-Autoid derselben (Porphyrformation, Collio- und Grödener-
Serie, Verrucano), sent Permo-Mulden der karnischen Kette
(auf Taf. X auch Perm I.-A.)
Mesozoikum der Karnischen Alpen (Belvedere, San Giorgio,
Campo dei Fiori, Pegherolo, Bellagamba)
Gail-Kristallin und Paläozoikum am Südrand des Drau-Zuges
Karnisches Paläozoikum (Silur, Devon, Karbon)
Kristallin des Tonale-Aufbruches, der Rendena-
Laugenpfeilkuppe und des Kristall reier
Perm des Tonale-Aufbruches (Zone Cáffaro-Laugenpfiz)
Bergamasisch-karnisches Mesozoikum,
Pizzoni Alt-Fertile Val di Nivo
Mesozoikum der Brescia-Linie Gardasee di Scalve
Grigna-Bandzeichnen und Tellaggio-Klippen
Tridentinische Einheit und bergamaskischer Randsaum
Vorpermisches, zur Hauptkette kristallinen Unterbau
Brixner-Platte und Kuppel des Cenedina
Cima d'Asta-Kristallin, Kristallin-Aufbruche des Cadore,
Kristallin-Aufbruche von Lamon-Tonale-Tonale und Bacinofado,
Karbon-Aufbruche von Lifiei-Trojana (Kran)
Porphyroschiff von Bozen und seine Ausläufer
Südtirolerisches Perm zwischen Pinzano/Aporto und Cadore,
Perm-Aufbruche der Carnia und des Feltaldes
Tridentinische Sedimentschellen?
Nordtirolisch-Bayerisch (bergamaskischer Randsaum (Iseo/Brescia-
Val Sabbia, Bagnolo (Lodi) Trebbio-Mendola-Bondzeichnen-Sco-
lada-Monzarino-und Seen-Zuge nördlich des Trojana-Aufbruches)
Bergamaskische Elemente (Sasb Gergno, Cornelo, Cavallo, Cavallo
Zonaccia-Schuppen (Lebanon-Mormolada)
Südtirolerische Elemente (Simione/Mulde Belalo-Marzola-
Fara/Civetta/Pelmo-Arnstein-Val-Cavina, jüdische Hauptschellen,
Inhen-Urbanische Züge südlich des Tonale-Aufbruches)
Bellunesische Einheit
Kristallner Untiefen von Recoaro-Valle del Signori und
Alto Belo, zur Julischen Aussenzone
Südtirolerische Zone (Vorsnesa-Seite Consol, Monte Grappa-
Cima Grappa, Cimone, Cavallo, Cavallo Pelmo del Cansiglio,
Terminaker und Brinkbuchenkalk/Venetz)
Stol-Zug, Blegka-Peneter
Nordbellunesische Zone und Einheit des Tagliamento:
Julische Aussenzone, Pöllandarfalten
Venezianisch-Friulanischer Randsaum
Tertiärmolle von Vicenza, Zone der Euganeen, eoltrulanische
Flyschzone, Wilpscher-Mulde und Triestiner-Karst
Jungtertiär
Oligozän, Miozän und Pliozän, inkl. Alt-Tertiär der Colli Torinesi
(Ligurider)
Jungalpine Eruptivmassen
Periadriatische und periliatenische Massive
Vicentinisch-Euganeische und Steirische Vulkanprovinz
NB. Die jungen Ganggesteine der Bergamasker Alpen, des Ortlergebietes
und des Garda-See sind nicht berücksichtigt worden.
Brüche
Antiklinalen
Synklinalen
Schuppflächen
Faltenachsen
Torino
Milano
Venezia
Trieste
Udine
Bergamo
Brescia
Verona
Padova
Treviso
Pavia
Piacenza
Cremona
Novara
Belluno
Bozen
Innsbruck
Klagenfurt
Villach
Lugano
Como
Bellinzona
Chiavenna
Sondrio
Aosta
Ivrea
Cuneo
Savona
Genova
Ventimiglia
Nizza
Bern
Genf
Chur
Sion
Zermatt
Ferrara
Rimini
Ravenna
Bologna
Modena
Parma
Reggio
Mantova
Pordenone
Tolmezzo
Bruneck
Meran
Lienz
Salzburg
Nürburg
Kitzbühel
Hallein
Bad Ischl
Gmunden
Steyr
Linz
Wien
Graz
Leoben
Bad Gastein
Zell am See
Kufstein
Innsbruck
Landeck
Bad Tölz
Garmisch
Füssen
Kempten
Lindau
Bregenz
Feldkirch
Davos
Zermatt
Fiume
Pola
Rovigno
Ferrara

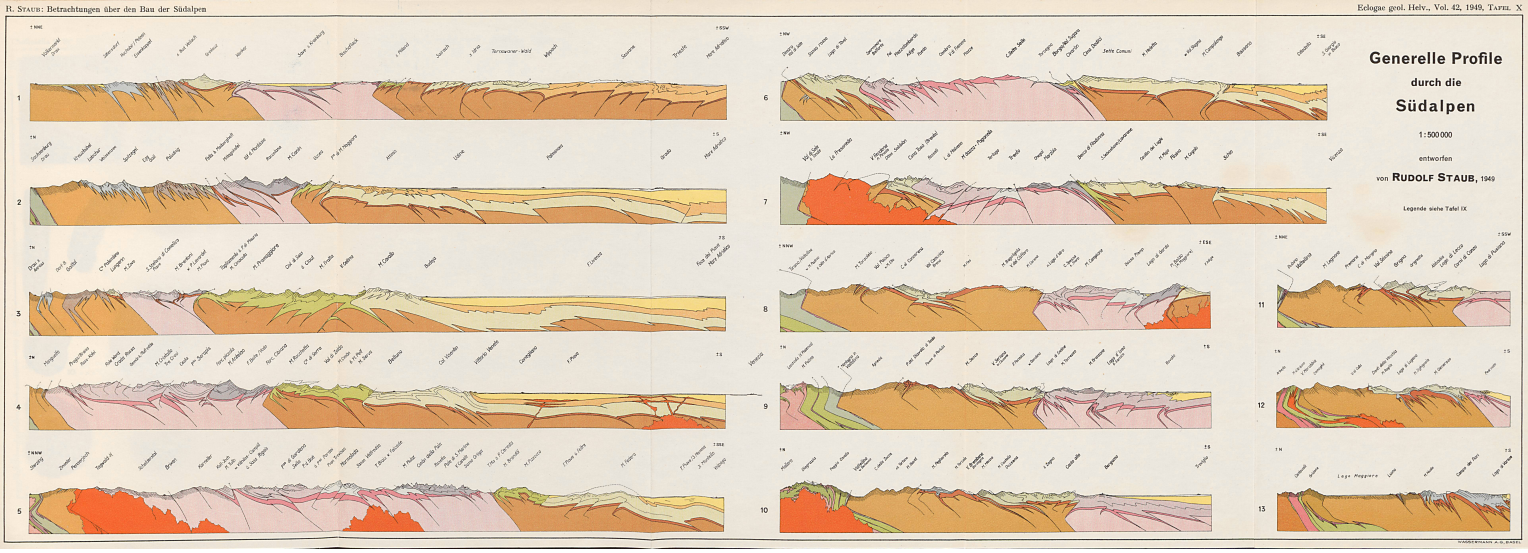
Generelle Profile
durch die
Südalpen
1:500000
entworfen
von Rudolf Staub, 1949
Legende siehe Tafel IX

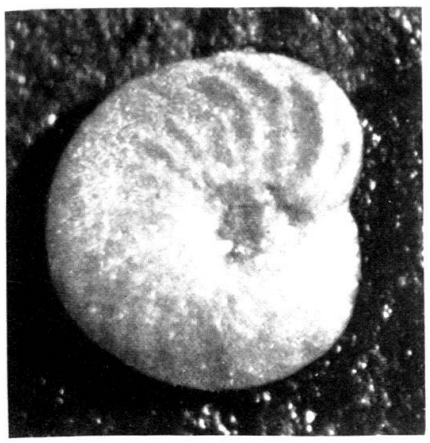
1

2

3

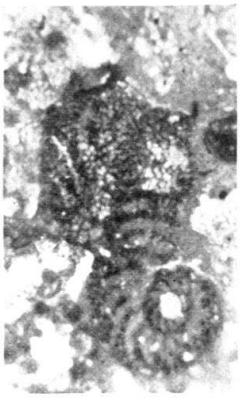
4

5

6

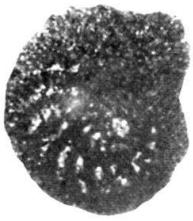
7

8

9

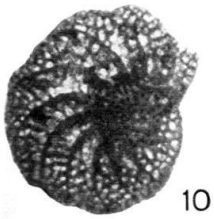
10

11

12

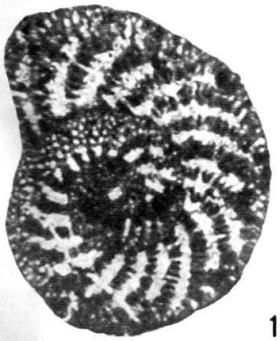
13

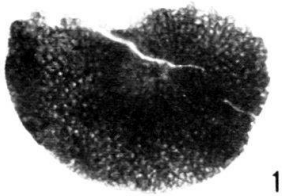
14

15

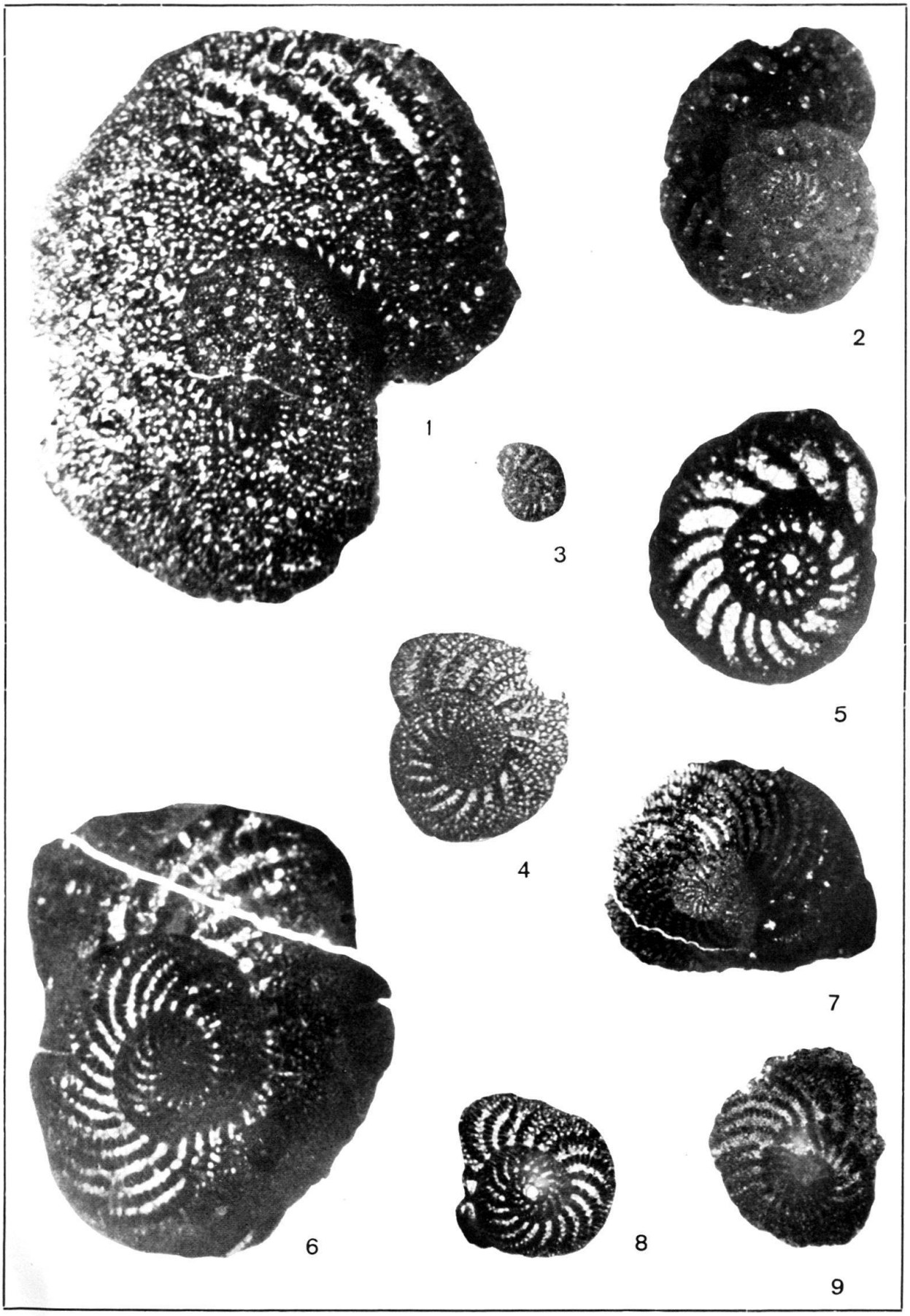
1
2
3
4
5
6
7
8
9

D

F

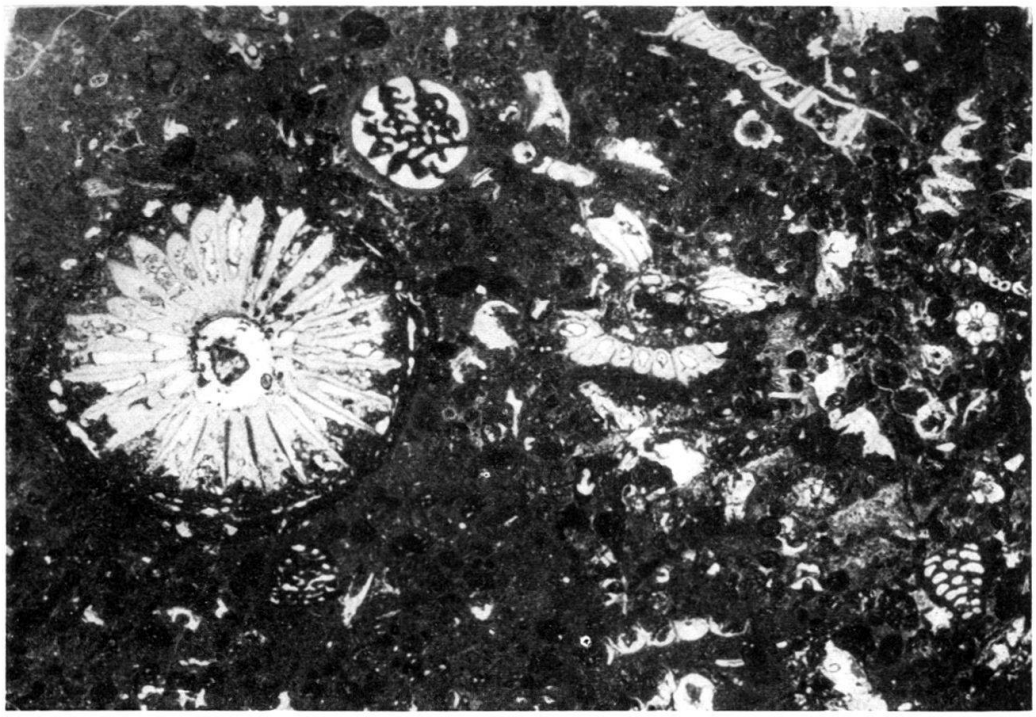

1

A

C

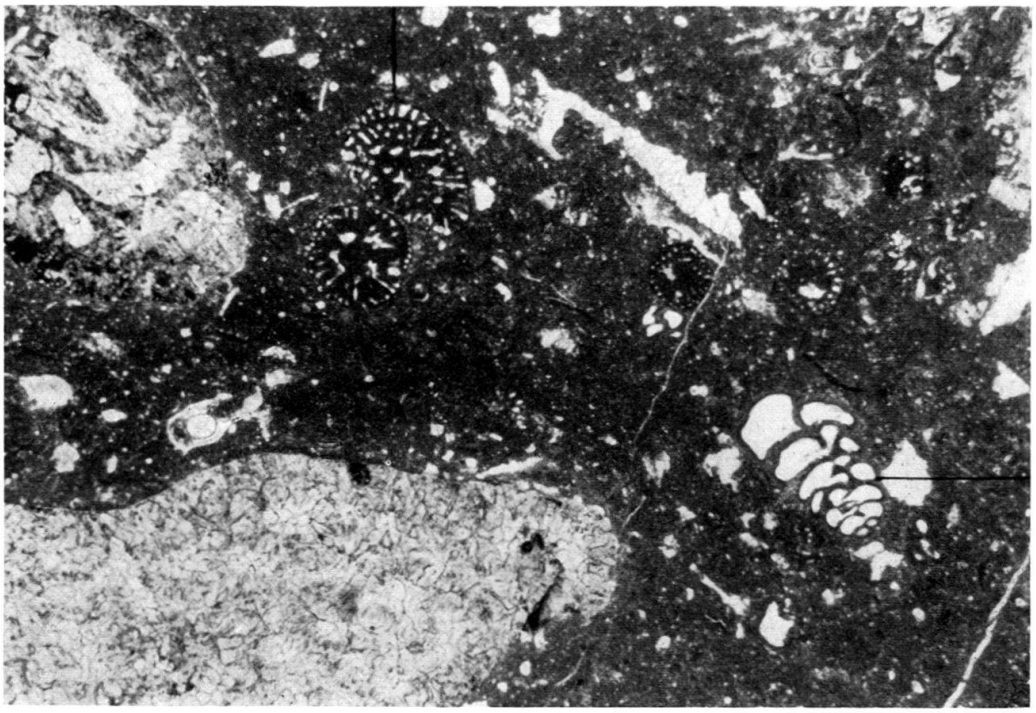

V

C

2

Fig. 1. *Clypeina* aff. *jurassica* Favre (F), und ? *Dukhania* sp. (D). Elatos-Pass zwischen Amphissa und Lidorikion im mittelgriechischen Kionagebirge. 10 ×.

Fig. 2. *Valvulinella jurassica* Henson (A), *Valvulina* sp. (V) und *Cladocoropsis* (C). Salima-Tal im Libanon. Erste Gesteinsprobe. 15 ×.

1

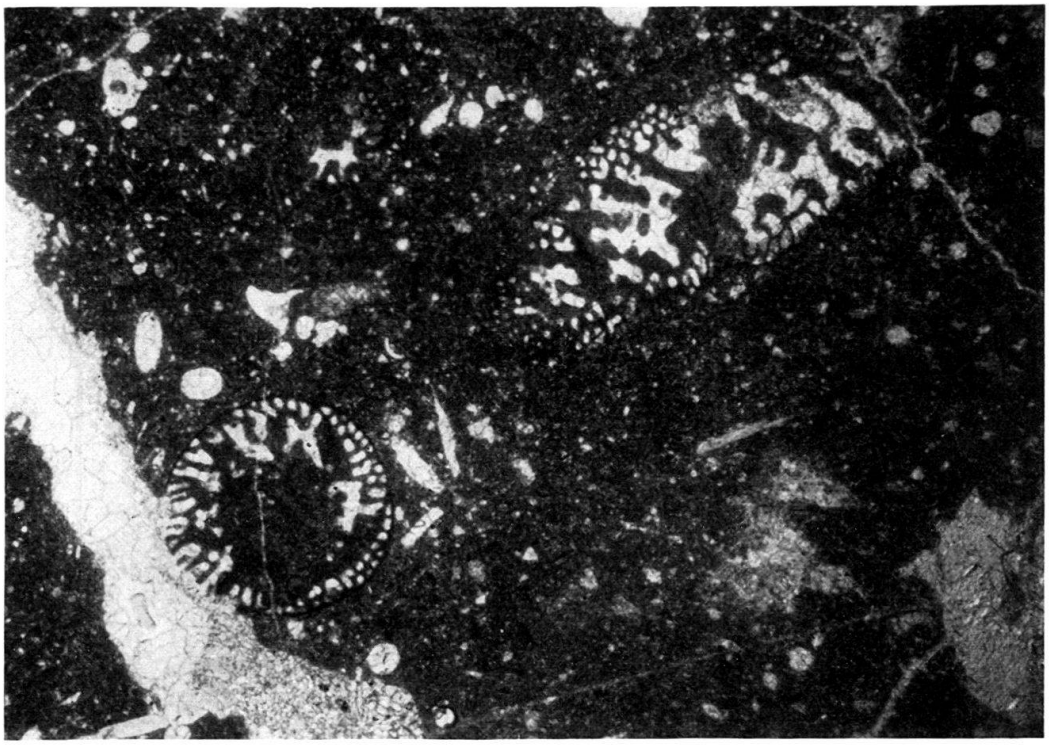

2

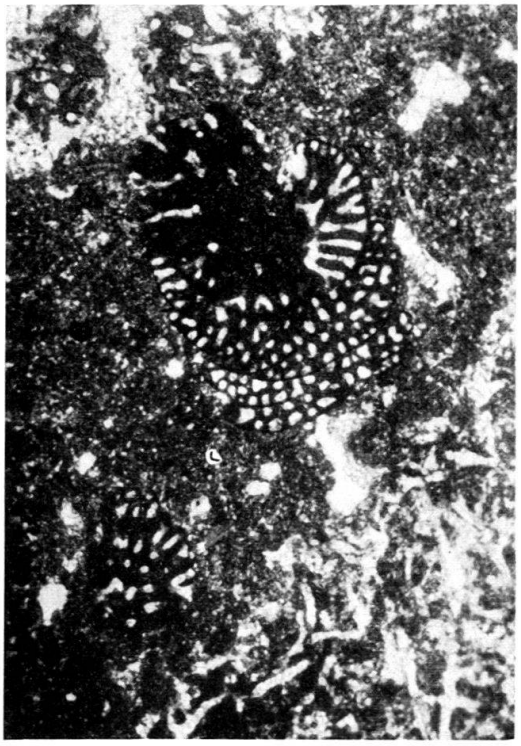

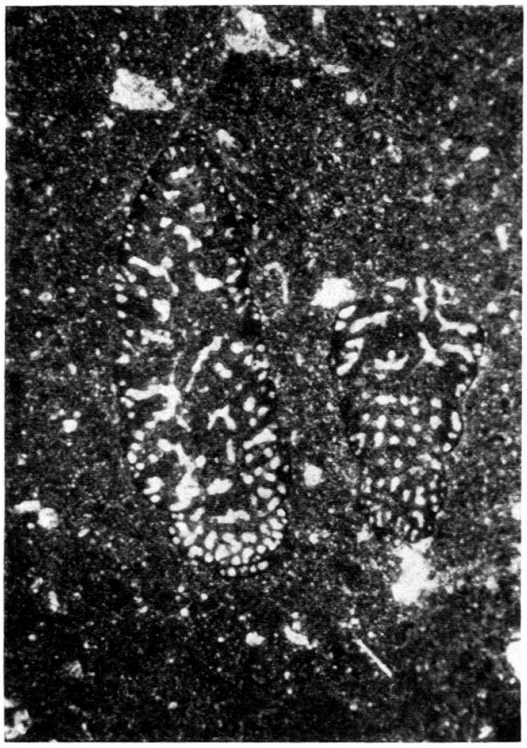

3

Fig. 1. *Valvulinella jurassica* Henson. Wadi el Karn im Antilibanon. 30 ×.
Fig. 2. *Valvulinella* cf. *wellingsi* Henson. Salima-Tal im Libanon. 30 ×.
Fig. 3. *Valvulinella jurassica* Henson. Salima-Tal im Libanon. Zweite Gesteinsprobe. 30 ×.

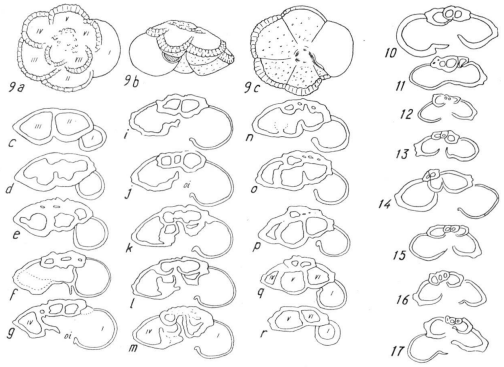

9a—r, 10—17. *Globotruncana stephani* Gandolfi.

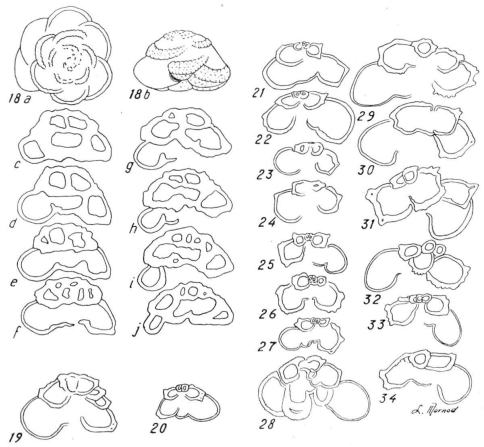

18a—j, 19—20. *Globotruncana stephani var. turbinata* Reichel.
21—34. *Globotruncana imbricata* n. sp.

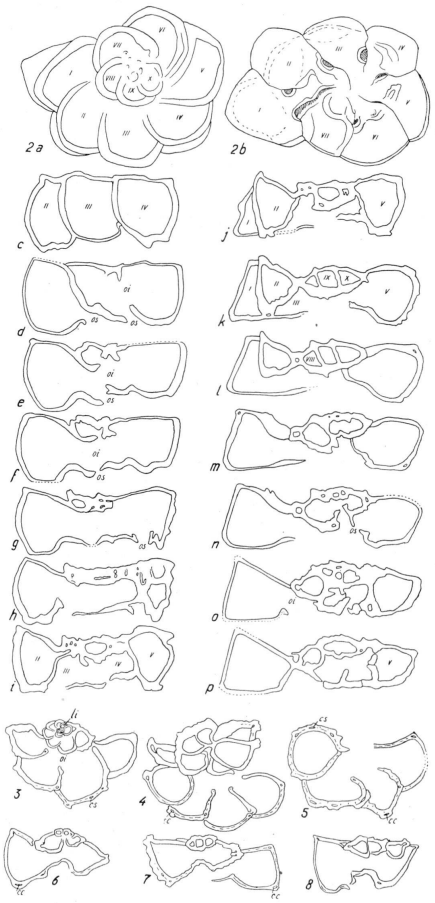

2a—p, 3—8. *Rotalipora reicheli* n. sp.

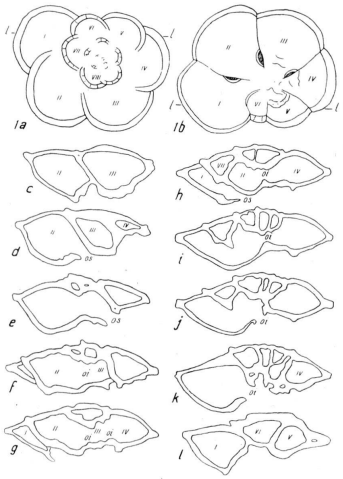

1a—l. *Rotalipora apenninica* Renz.

Voir l'explication détaillée de la Planche aux pages 595–596.

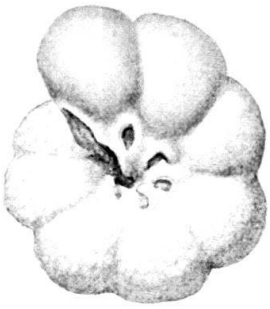
1

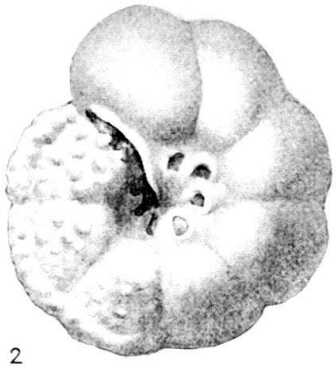
2

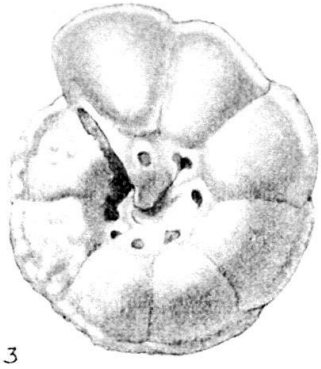
3

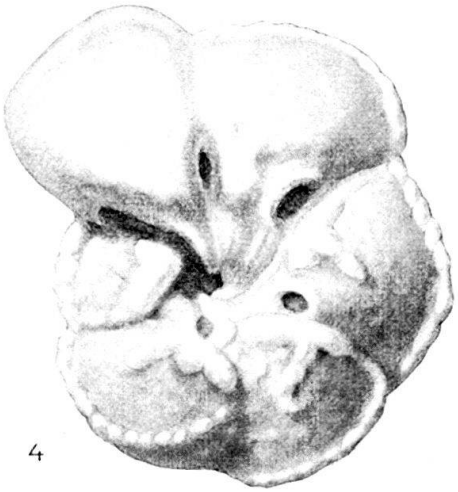
4

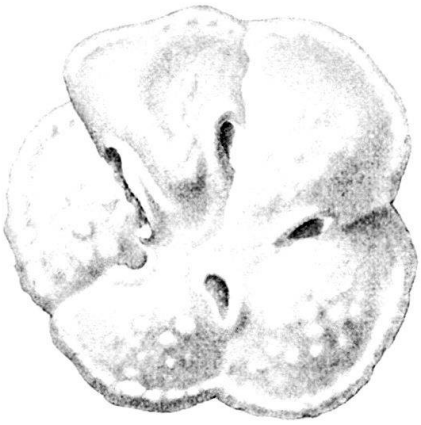
5

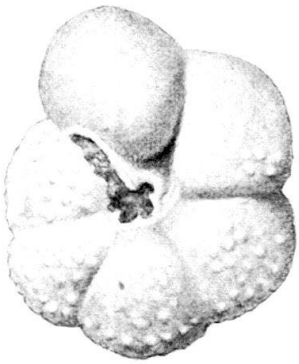
6

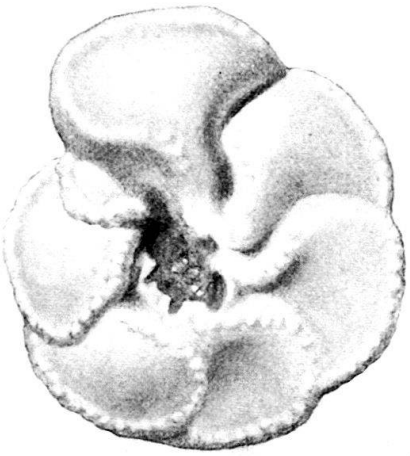
7

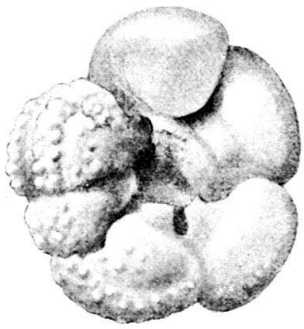
8

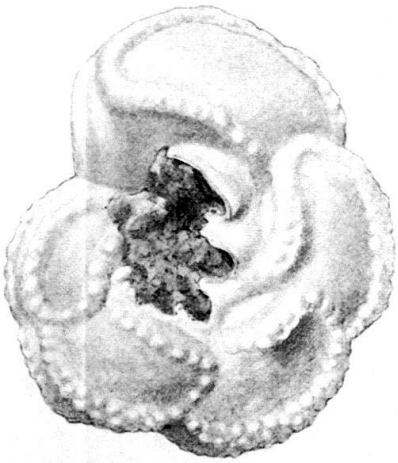
9

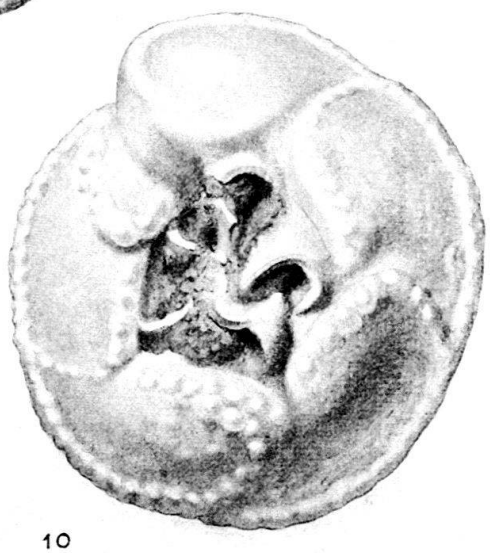
10

MR

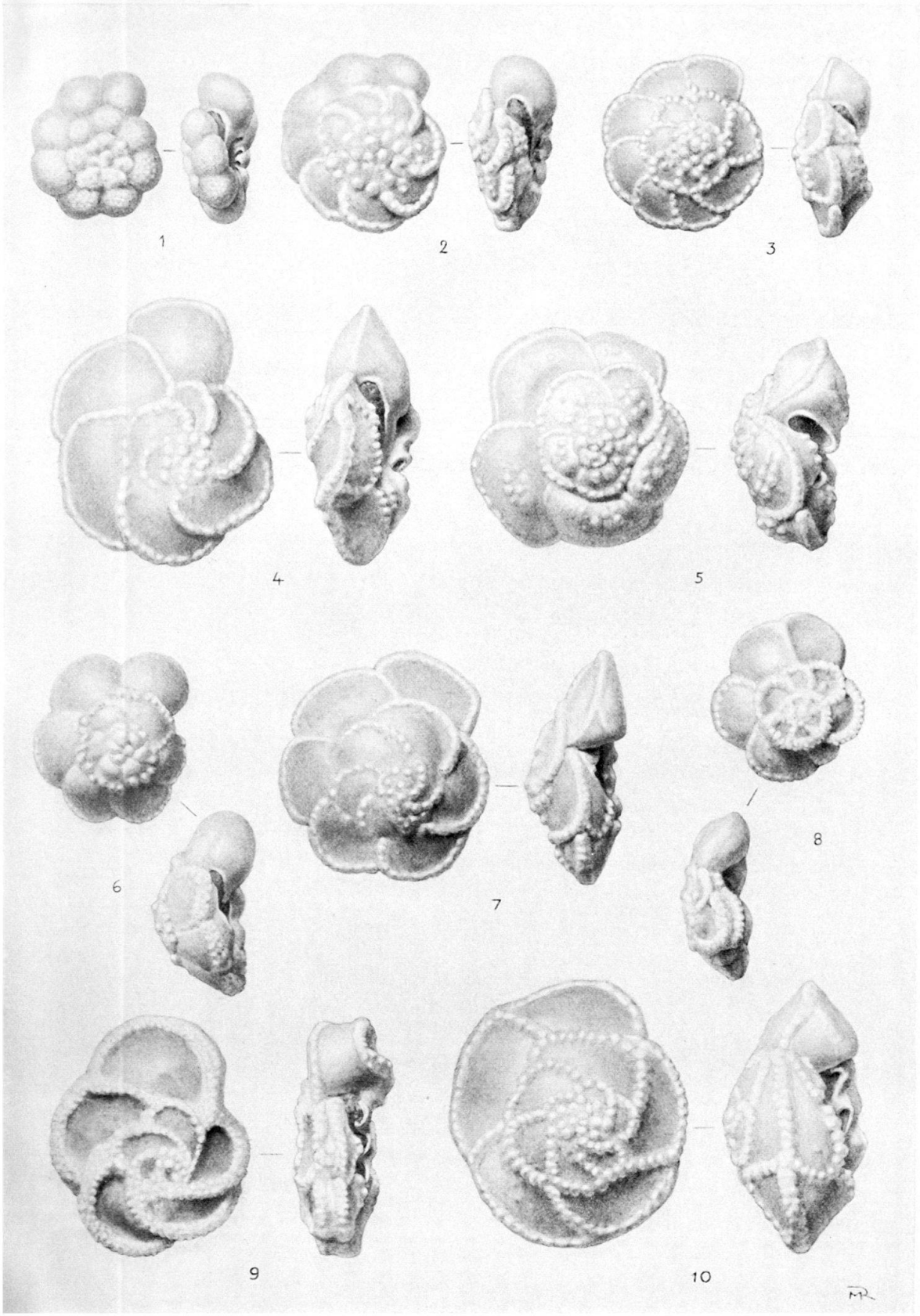
1
2
3
4
5
6
7
8
9
10